



F2

**Fakulta strojní
Ústav mechaniky, biomechaniky a mechatroniky**

Diplomová práce

Optimální řízení toku materiálu v chaotickém skladu s výrobními stroji

Bc. Jan Hrnčíř

14. srpna 2023

Vedoucí práce: Ing. Martin Nečas, MSc., Ph.D.

I. OSOBNÍ A STUDIJNÍ ÚDAJE

Příjmení: **Hrnčíř** Jméno: **Jan** Osobní číslo: **483140**
Fakulta/ústav: **Fakulta strojní**
Zadávací katedra/ústav: **Ústav mechaniky, biomechaniky a mechatroniky**
Studijní program: **Robotika a výrobní technika**
Specializace: **Robotika**

II. ÚDAJE K DIPLOMOVÉ PRÁCI

Název diplomové práce:

Optimální řízení toku materiálu v chaotickém skladu s výrobními stroji.

Název diplomové práce anglicky:

Optimum control of material flow in a chaotic warehouse with production machines.

Pokyny pro vypracování:

1. Seznamte se s problematikou optimalizačních algoritmů s důrazem na plánování výroby
2. Vytvořte optimalizační matematický model výrobního plánu a řešte jej s využitím vhodného solveru
3. Vytvořte algoritmus pro efektivní vyskladňování a naskladňování skladového materiálu
4. Integrujte optimalizační algoritmus vyskladňování s algoritmem plánování výroby
5. Kriticky zhodnoťte dosažené výsledky s ohledem na budoucí využití.

Seznam doporučené literatury:

- [1] BARTÁK, Roman. Constraint Programming [online]. Praha: Matematicko-fyzikální fakulta, Univerzita Karlova, 1998 [cit. 2023-04-27]. Dostupné z: <http://kti.ms.mff.cuni.cz/~bartak/constraints/constrsat.html>
- [2] BRUCKER, Peter. Scheduling algorithms. 5th. New York: Springer, 2007. ISBN 978-3-540-69515-8. Dostupné také z: <https://ftp.idu.ac.id/wpcontent/uploads/ebook/ip/BUKU%20SCHEDULING/Scheduling%20Algorithms.pdf>
- [3] Google OR-Tools [online]. Mountain View (Kalifornie): Google, 2023 [cit. 2023-04-27]. Dostupné z: <https://developers.google.com/optimization/>

Jméno a pracoviště vedoucí(ho) diplomové práce:

Ing. Martin Nečas, MSc., Ph.D. odbor mechaniky a mechatroniky FS

Jméno a pracoviště druhé(ho) vedoucí(ho) nebo konzultanta(ky) diplomové práce:

Datum zadání diplomové práce: **28.04.2023** Termín odevzdání diplomové práce: **14.08.2023**

Platnost zadání diplomové práce: _____

Ing. Martin Nečas, MSc., Ph.D.
podpis vedoucí(ho) práce

prof. Ing. Michael Valášek, DrSc.
podpis vedoucí(ho) ústavu/katedry

doc. Ing. Miroslav Španiel, CSc.
podpis děkana(ky)

III. PŘEVZETÍ ZADÁNÍ

Diplomant bere na vědomí, že je povinen vypracovat diplomovou práci samostatně, bez cizí pomoci, s výjimkou poskytnutých konzultací. Seznam použité literatury, jiných pramenů a jmen konzultantů je třeba uvést v diplomové práci.

Datum převzetí zadání

Podpis studenta

Poděkování / Prohlášení

Chtěl bych poděkovat celé své rodině za nekonečnou podporu při studiích nejen finanční a za to, že mohu dělat, co mě baví.

V neposlední řadě děkuji Ing. Martinovi Nečasovi, MSc., Ph.D. za vedení mé diplomové práce.

Prohlašuji, že jsem předloženou práci vypracoval samostatně a že jsem uvedl veškeré použité informační zdroje v souladu s Metodickým pokynem o dodržování etických principů při přípravě vysokoškolských závěrečných prací.

V Praze dne 14. 8. 2023

.....

Abstrakt / Abstract

Diplomová práce se zabývá řízením pohybu materiálu v automatizovaném chaotickém skladu deskového materiálu. Je rozdělena do tří částí. V první části byla provedena rešerše přístupů k řešení prohledávání stavového prostoru. Na základě těchto principů je vytvořen algoritmus podle požadavků na pohyb materiálu ve skladu. Druhá část obsahuje seznámení s problematikou rozvrhování průmyslové výroby na paralelně pracujících strojích, která je připojena ke skladu. Třetí část pojednává o spojení algoritmu starající se o pohyb materiálu s rozvrhováním výroby paralelních strojů.

Klíčová slova: automatizovaný; chaotický; sklad; deskového; materiálu; ai; umělá inteligence; stavový prostor; prohledávání; LP; ILP; MILP; CP; CSP; programování s omezujícími podmínkami; celočíselné lineární programování; rozvrhování; paralelní; stroje

This master thesis deals with the control of material flow in an automated chaotic panel warehouse. It is divided into three parts. In the first part, research is made about approaches to state-space search. Based on these principles, an algorithm is developed according to the requirements of material flow in the warehouse. The second section describes the problem of industrial production scheduling on parallel machines connected to the warehouse. The third part discusses the integration of the algorithm taking care of material flow with the production scheduling of parallel machines.

Keywords: automated; chaotic, panel; storage; system; warehouse; ai; artificial intelligence; state-space; search; astar; a-star; LP; ILP; MILP; CP; CSP; constraint programmin; integer linear programmin; scheduling; paralel; machines

Title translation: Optimum control of material flow in a chaotic warehouse with production machines

/ Obsah

1 Úvod	1
2 Algoritmus skladu	2
2.1 Prohledávání stavového prostoru	2
2.1.1 Měření výkonu metod	3
2.1.2 Neinformované prohle- dávání	4
2.1.3 Informované prohledávání	8
2.2 Formální reprezentace pro- blému skladu	11
2.3 Výběr algoritmu a jeho im- plementace	15
2.3.1 Heuristiky	17
2.3.2 Porovnání heuristik	17
2.4 Naskladňovací strategie	23
3 Rozvrhování výroby	24
3.1 Terminologie	24
3.2 Lineární a celočíselné pro- gramování	26
3.2.1 Lineární programování	26
3.2.2 Celočíselné lineární programování	26
3.2.3 Branch and Bound	27
3.3 Constraint programming	28
3.3.1 AC-3	28
3.4 Rozvrhování na n identic- kých strojů	29
3.5 Rozvrhování na n dediko- vaných strojů	30
3.6 Prioritní rozvrhování na identické stroje	31
3.7 Implementace knihovnou OR-tools	33
3.8 Testování rozvrhování	35
3.8.1 Rozvrhování dedikova- ných strojů	35
3.8.2 Prioritní rozvrhování	36
4 Spojení algoritmů vy- skladňování a rozvrhování výroby	37
4.1 Architektura aplikace	39
5 Závěr	40
Literatura	41
A Seznam příložených souborů	42

Tabulky / Obrázky

2.1 Porovnání neinformovaných algoritmů	6
2.2 Průběh A^* z příkladu navigace	10
3.1 Průměrné hodnoty při rozvrhování směn	35
3.2 Průměrné hodnoty při prioritním rozvrhování směn	36
1.1 Chytrý sklad deskového materiálu od firmy HOUFEK a.s.	1
2.1 Příklad orientovaného a neorientovaného grafu	3
2.2 Příklad běhu BFS algoritmu.....	4
2.3 Pseudokód BFS algoritmu	5
2.4 Příklad běhu DFS algoritmu	6
2.5 Pseudokód IDDFS algoritmu	7
2.6 Příklad běhu IDDFS algoritmu ..	7
2.7 Hledání optimální cesty v navigaci	8
2.8 Pseudokód A–star	9
2.9 Porovnání vážené heuristiky ...	10
2.10 Počáteční a cílový stav skladu .	11
2.11 Simulátor skladu	14
2.12 Datová struktura stavu skladu	15
2.13 Závislost Prozkoumaných stavů na velikosti výstupní fronty	18
2.14 Závislost počtu akcí na velikosti výstupní fronty	18
2.15 Závislost počtu akcí při rostoucím počtu typů desek.....	19
2.16 Závislost počtu akcí na velikosti výstupní fronty	19
2.17 Porovnání vážených heuristik ..	20
2.18 Vliv seřazené konstantní délky fronty na počet akcí	21
2.19 Vliv seřazené konstantní délky fronty na počet prozkoumaných stavů.....	21
2.20 Vliv seřazené rostoucí délky fronty na počet akcí.....	22
2.21 Vliv seřazené rostoucí délky fronty na počet prozkoumaných stavů	22
3.1 Ganttův diagram	24
3.2 Branch and Bound algoritmus .	27
3.3 Rozvrh na dedikované stroje...	30
3.4 Prioritní rozvrh 1	32
3.5 Prioritní rozvrh 2	32
3.6 Osmihodinová směna.....	35
3.7 Dvanáctihodinová směna	36
4.1 Rozvrh výroby	37

4.2	Architektura plánované aplikace skladu	39
------------	--	----

Kapitola 1

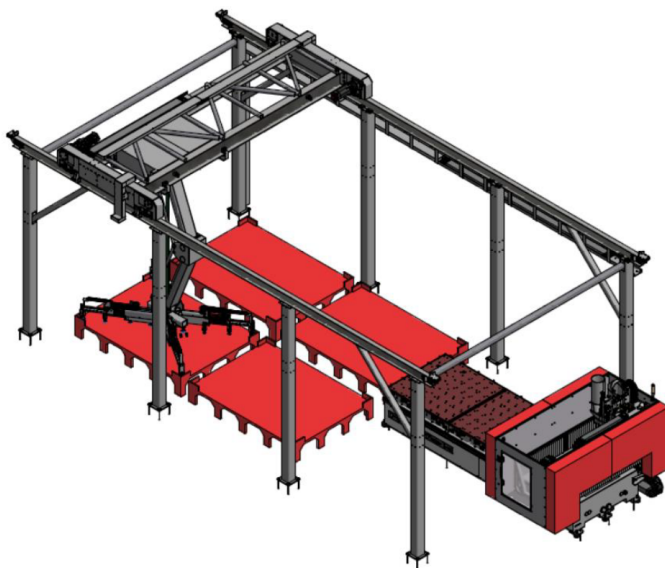
Úvod

Tématem práce je řízení pohybu materiálu v automatizovaném chaotickém skladu. Sklad je určen pro dřevozpracující průmysl a jeho součástí jsou CNC obráběcí stroje. S tím souvisí problém rozvrhnutí prací na jednotlivé stroje dle požadovaného denního výrobního plánu. Na jehož základě skladový manipulátor musí být schopen včas zásobit stroje deskami.

Jak už název napovídá, deskový materiál není ve skladu umístěn nijak uspořádaně a jednotlivé desky jsou umístěny na sobě náhodně v několika skladovacích pozicích, například paletách. S tím souvisí problém rychlého a efektivního vyskladnění požadovaného materiálu. Hlavním požadavkem na řízení tedy je, že musí optimalizovat pohyb materiálu ve skladu s ohledem na vyskladnění, výrobu a naskladnění nového materiálu tak, aby požadovaná deska byla dostupná a vyskladněná v co nejkratším čase.

S rozvojem automatizace a robotizace vzniklo několik variant automatických skladů. Příkladem může být ASRS (Automated storage and retrieval system), pro který jsou vymyšleny postupy uskladnění a manipulace se zbožím uvnitř skladu. U tohoto typu skladu roboti nebo manipulátor při pohybu ve skladu může po cestě sebrat nebo uskladnit více zboží, což je hlavní rozdíl od skladu s deskovým materiálem, kde manipulátor může uchopit pouze jednu desku a tu přemístit na jinou pozici. A proto se postupy již vzniklých koncepcí nedají použít. Sklad deskového materiálu je relativně novým typem skladu a přináší tak spoustu výzev a problémů k řešení.

Cílem práce tedy je návrh a implementace algoritmu pro efektivní manipulaci s deskovým materiálem pro konkrétní sklad (obr. 1.1), na jehož vývoji se v rámci projektu podílí Fakulta strojní. Dalším cílem je vytvoření plánování výroby pro několik současně pracujících strojů napojených na automatizovaný sklad.



Obrázek 1.1. Chytrý sklad deskového materiálu od firmy HOUFEK a.s. [1]

Kapitola 2

Algoritmus skladu

Tato kapitola se zaměřuje na vytvoření klíčového algoritmu řídicího systému chaotického skladu pro vyskladňování deskového materiálu v daném pořadí metodou prohledávání stavového prostoru. Nejprve je popsána obecná formulace problému a jsou rozebrány postupy pro nalezení optimálního řešení v prohledávání. Dále je formulována reprezentace problému skladu a jeho řešení pomocí A^* algoritmu s vybranou vhodnou heuristikou. Závěr kapitoly pojednává o strategii naskladňování.

2.1 Prohledávání stavového prostoru

Prohledávání je jednou z nejzákladnějších a nejuniverzálnějších metod pro řešení problémů nejen umělé inteligence, ale je i hojně využíváné v nejrůznějších oblastech pro řešení reálných problémů.

Robotika. Pro plánování pohybu průmyslových robotů v kloubových souřadnicích s požadavkem na vyhýbání se překážkám musí být provedeno prohledávání v mnoho dimenzionálním prostoru. Dalším příkladem může být navigování mobilních robotů, např. robotické vysavače nebo průzkumní roboti.

VLSI (very large-scale integration) je proces vytváření integrovaných obvodů miliard tranzistorů na jednom čipu (mikroprocesoru nebo paměti). Zde se řeší problém potřeby rozložení miliard komponent a jejich propojení na jednom čipu s cílem minimalizovat velikost, zpoždění v obvodu a maximalizovat výrobu.

Problém obchodního cestujícího (TSP) je obtížný optimalizační problém navštívení daných měst, každé právě jednou, a vrácením se do výchozího města. Cílem je nalezení nejkratší možné cesty. Přestože patří do skupiny \mathcal{NP} -hard, bylo vynaloženo velké úsilí na zlepšení TSP algoritmů.

Další aplikace jsou například hledání cest v GPS navigacích, směřování živého videa v internetu, a mnoho dalších.

Aby prohledávací algoritmy mohli systematicky hledat řešení, je potřeba nejprve vytvořit *formální reprezentaci problému*. Následujících pět komponent formálně definují problém:

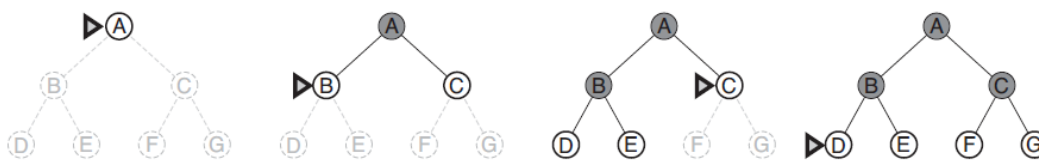
- *Stavy* jsou všechny možné situace, které mohou nastat v daném problému. Množinu všech stavů značíme písmenem S . Vezme-li zjednodušený příklad navigace z Prahy do Ostravy, stavy můžou být jednotlivá města. Stav, ve kterém začíná prohledávání říkáme *iniciální stav* : $V(\text{Praha})$.
- *Akce* popisují množinu všech akcí (značíme A) aplikovatelných v konkrétním stavu. Například ve stavu $V(\text{Praha})$ jsou možné akce $A = \{Do(\text{Brno}), Do(\text{Plzeň}), Do(\text{Pardubice}), \dots\}$.
- *Přechody* specifikují co se stane po aplikaci akce $a \in A$ na stav $s \in S$. Pokud je problém deterministický, bude nový stav s' stoprocentně daný akcí a . Ale například v robotice, kde je problém stochastický vlivem nepřesnosti senzorů, působením vnějšího prostředí, atd., může nový stav s' být různý s nějakou pravděpodobností od požadovaného.

stavy. Problémem je, že při prohledávání máme graf, reprezentující stavový prostor, zadaný implicitně závislý na stavech, akcích a přechodů. Z tohoto důvodu závisí složitost na následujících parametrech: b branching factor neboli maximum počtu následujících stavů z jakéhokoli stavu, d depth je hloubka nejbližšího cíle, tj. minimální počet akcí provedených z iniciálního stavu do cílového, a m je maximální délka jakékoli cesty v grafu. Protože čas je závislý na konkrétním výpočetním výkonu, časovou složitost měříme počtem prozkoumaných stavů během prohledávání. Prostorová složitost je dána počtem současně uložených stavů v paměti, tím je zaručena nezávislost na platformě a implementaci. [3]

2.1.2 Neinformované prohledávání

Neinformované metody, někdy se také nazývají slepé, nemají žádnou dodatečnou informaci o problému. Mohou pouze procházet systematicky jednotlivé stavy a generovat jejich následovníky. Tyto algoritmy se pouze liší v tom, jak generované následníky procházejí.

- *Breadth-First-Search* (BFS) Prohledávání do šířky je nejjednodušší přístup k řešení. Tento algoritmus prohledává stavový prostor po vrstvách, jak je znázorněno na obr.2.2. Začíná v iniciálním stavu a postupně prochází všechny jeho následníky. Uchovává si frontu nevyřízených stavů a postupně je odebírá. Fronta zajišťuje, že se vždy nejdříve projdou všechny stavy v jedné hloubce než se přejde do nižší hloubky. Tím je také zaručeno nalezení cílového stavu v nejbližší hloubce a kompletnost, resp. optimalita BSF je splněna.



Obrázek 2.2. Příklad běhu BFS algoritmu [3]

Předpokládejme řešení v hloubce d , pak se musí projít b uzlů na první vrstvě, kde každý uzel vygeneruje dalších b uzlů, tj. celkově b^2 uzlů v druhé vrstvě a tak dále. Celkový počet prohledaných uzlů bude tedy roven:

$$b + b^2 + b^3 + \dots + b^d = O(b^d) \quad (1)$$

Tyto uzly musí být zároveň uloženy v paměti, tedy časová i prostorová složitost roste exponenciálně $O(b^d)$. Ukazuje se, že takto extrémní nárůst paměti je daleko větší problém než časová složitost. Ostatní metody naštěstí nejsou tak náročné na paměť.

Při implementaci podle pseudokódu 2.3 přidáváme uzly nejen do fronty (opened list), ale i do tzv. closed listu, kde si ukládáme již navštívené uzly, aby jsme předešli opětovnému prohledání uzlů v případě cyklu v grafu. [3][4]

Běh A^* si ukážeme na příkladu nalezení nejrychlejší cesty viz obr. 2.7. Stavů jsou řazeny v prioritní frontě podle funkce $f(n) = g_2(n) + h_L(n)$, kde $g_2(n)$ je očekávaná doba jízdy autem mezi úseky v minutách.

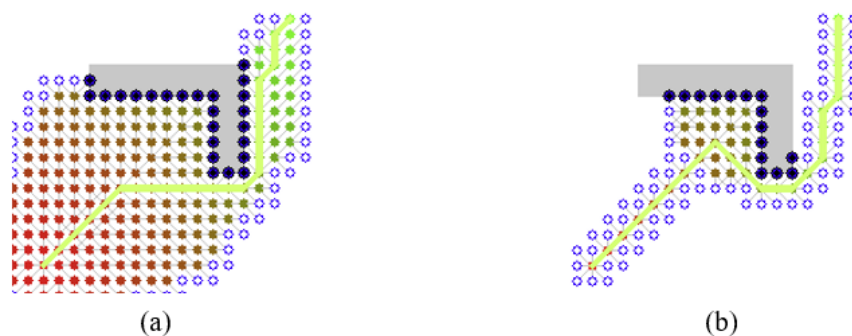
Prohledávaný stav	Prioritní fronta ($g_2(n) + h_L(n)$)
Praha	Pardubice(262), Humpolec(274)
Pardubice	Humpolec(274), Ostrava z Pardubic(279)
Humpolec	Brno(268), Ostrava z Pardubic(279)
Brno	Ostrava z Brna(265), Ostrava z Pardubic(279)
Ostrava z Brna	Ostrava z Pardubic(279)
Cíl nalezen	

Tabulka 2.2. Průběh A^* z příkladu navigace 2.7.

Na příkladu je vidět, že přestože cílový stav byl objeven již ve druhém cyklu, algoritmus nekončí jako u Greedy prohledávání, neboť ve frontě jsou slibnější stavy. Teprve při vyjmutí cíle algoritmus končí a je zrekonstruována cesta: Praha -> Humpolec -> Brno -> Ostrava celkem 3h 25min (265min).

Dalším poznatkem je, že funkce $g(n)$ určuje cíl minimalizace. Například při zvolení $g_1(n)$, skutečně ujetá vzdálenost mezi městy, A^* nalezne minimální trasu z Prahy do Ostravy.

- *Částečně optimální A^* .* V některých případech i přípustná heuristika prozkoumává stále mnoho stavů a algoritmus je pomalý. Pro zlepšení výkonu můžeme použít nepřípustnou heuristiku, kterou vyrobíme modifikací z přípustné $h_W(n) = \epsilon \cdot h(n)$ pro nějaké číslo větší než jedna, $\epsilon > 1$. S touto heuristikou bude A^* preferovat prozkoumávání uzlů blíže k cíli. To může způsobit, že řešení bude nalezeno rychleji, ale na rozdíl od optimální heuristiky nebudeme mít záruku, že nalezené řešení je optimální viz obr. 2.9. [2]



Obrázek 2.9. Porovnání (a) přípustné $h(n)$ a (b) vážené (nepřípustné) heuristiky $h_W(n)$ [6]

2.2 Formální reprezentace problému skladu

Při formální reprezentaci problému skladu je nutné zvolit vhodnou abstraktní reprezentaci, která umožní popsat všechny důležité vlastnosti skladového prostoru a umožní provádění operací, jako je přesouvání desek mezi stohy uvnitř skladu či vstupem a výstupem ze skladu. Dále musí být definované testovací cílové podmínky s ohledem na vyskladňovací, resp. naskladňovací požadavky skladu.

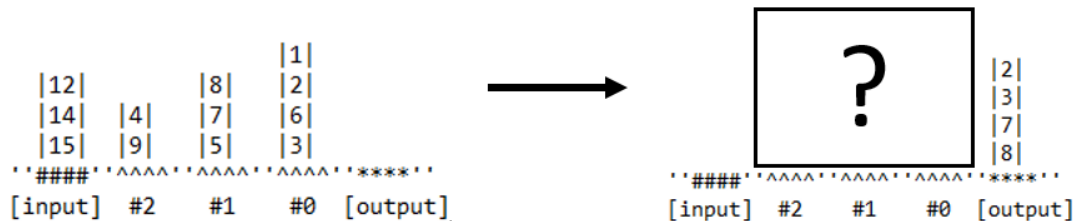
Stav skladu je modelován jako seznam zásobníků. Každý zásobník obsahuje různé množství desek a má také vlastní unikátní identifikační číslo. Výstup, vstup a prázdný zásobník mají záporná identifikační čísla, protože se jedná o speciální pozice ve skladu a jsou tak oddělena od vnitřních pozic pro lepší škálovatelnost skladu.

Akce jsou reprezentovány jako dvojice unikátních čísel zásobníků (`from_id`, `to_id`) a dávají informaci, ze kterého zásobníku se má deska odebrat a na který zásobník se má deska přesunout.

Součástí modelu musí být také omezující podmínka na maximální výšku stohů, která je dána konstrukčním řešením skladu. V rámci zjednodušení je tato podmínka řešena stanovením maximálního počtu desek, které mohou být vloženy do zásobníku.

Dalším omezením a současně testovací podmínkou je vyskladnění požadované výstupní fronty desek, daná plánováním výroby nebo vytvořena operátorem skladu. Protože sklad je chaotický, není určeno uspořádání desek uvnitř skladového prostoru a předchozí podmínka společně s požadavkem, že na vstupní pozici po naskladnění nesmí být žádná deska, definují cílový stav skladu viz obr. 2.10.

Tímto je reprezentace skladu kompletní a prohledávací algoritmus se snaží najít optimální sekvenci přesunů desek z počátečního stavu do cílového splňující popsané dvě podmínky.



Obrázek 2.10. Definice počátečního a cílového stavu skladu

Aby některý z výše popsaných algoritmů mohl prohledávat stavový prostor skladu muselo být vytvořeno prostředí simulující chování skladu podle omezujících podmínek. Pro tyto účely byla napsána třída `Warehouse`, která obsahuje metody pro manipulaci s deskami a tím může vytvořit jakýkoli stav skladu.

Zde jsou ukázány nejdůležitější metody:

- *Konstruktor třídy* obsahující stav vnitřního uspořádání skladu, vstupní a výstupní zásobník, požadovanou výstupní frontu, příznaky zda se má vyskladňovat, resp. naskladňovat a maximální počet položek, které mohou být umístěny v zásobnících.

```

1  GROUND_ID = -1
2  OUTPUT_ID = -2
3  INPUT_ID = -3

```

```

4  class Warehouse():
5      expanded = 0
6
7      def __init__(self, inicial_state, out_order=None, in_order=None,
8                  isInputProccesed = False, isOutputProccesed = True,
9                  max_stack_items = 200):
10         self.state = inicial_state
11
12         self.input = in_order
13         self.output = np.empty(0, dtype=np.int32)
14
15         self.required_order = out_order
16         self.isInputProccesed = isInputProccesed
17         self.isOutputProccesed = isOutputProccesed
18         self.max_stack_items = max_stack_items

```

- *Metoda* `get_moves()` vrací seznam všech možných tahů, které lze provést ve stavu skladu. Tahy jsou generovány na základě pravidel a omezení, které platí pro stavový prostor.

```

19  def get_moves(self):
20      moves = []
21      #Pokud je požadované naskladňování a vstupní stoh
22      #je neprázdný, přesuň desku na kterýkoli nezaplňný
23      #nebo na prázdný stoh.
24      if self.isInputProccesed and self.input is not None
25      and len(self.input) > 0:
26          for to_id, to_stack in enumerate(self.state):
27              if to_stack.size == 0
28              and ((INPUT_ID, GROUND_ID) not in moves):
29                  moves.append((INPUT_ID, GROUND_ID))
30              elif to_stack.size > 0
31              and to_stack.size < self.max_stack_items:
32                  moves.append((INPUT_ID, to_id))
33      #Pokud je požadované vyskladňování a přesuň jakoukoli
34      #vrchní desku na kterýkoli nezaplňný nebo na prázdný stoh.
35      if self.isOutputProccesed:
36          for from_id, from_stack in enumerate(self.state):
37              if from_stack.size == 0:
38                  continue
39              object = from_stack[0] # ID desky na vrchu zásobníku
40              #Když je vrchní deska následující v požadované výstupní
41              #posloupnosti, přesuň ji na výstup.
42              if self.output.size < len(self.required_order)
43              and object == self.required_order[self.output.size-1]:
44                  moves.append((from_id, OUTPUT_ID))
45          for to_id, to_stack in enumerate(self.state):
46              if from_id == to_id:
47                  continue
48              if len(from_stack) > 1 and to_stack.size == 0
49              and ((from_id, GROUND_ID) not in moves):

```


- Metoda `isDone()` testuje nalezení cílového stavu podle podmínek správné výstupní fronty `isGoalOutput()` a prázdné vstupní pozice `isGoalInput()`. Obě podmínky se dají omezit příznaky podle potřeby skladového systému.

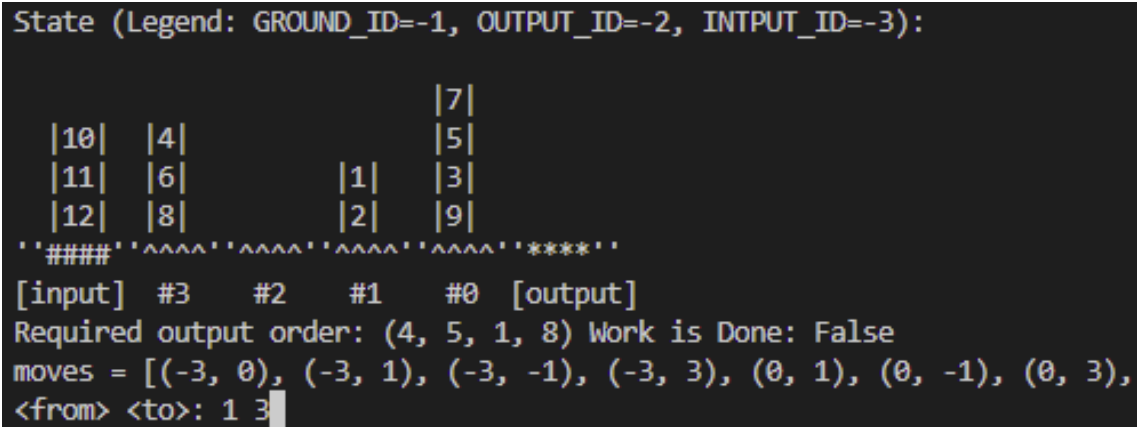
```

92 def isGoalOutput(self):
93     """ výstupní pořadí musí být shodné s požadovaným """
94     return self.get_curr_output() == self.get_goal_output()
95
96 def isGoalInput(self):
97     """ vstupní pozice skladu musí být prázdná """
98     return len(self.input)==0
99
100 def isDone(self):
101     if self.isInputProccesed and self.isOutputProccesed:
102         return self.isGoalInput() and self.isGoalOutput()
103     elif self.isOutputProccesed:
104         return self.isGoalOutput()
105     elif self.isInputProccesed:
106         return self.isGoalInput()
107     else:
108         return False

```

Třída také obsahuje další pomocné funkce pro testování. Funkce `get_random_orders(počet desek, délka posloupnosti)` generuje náhodné pořadí desek pro vstupní pozici nebo požadovanou výstupní posloupnost. Funkce `get_random_state(počet desek, počet stohů)` generuje náhodný počáteční stav vnitřního uspořádání skladu. A nakonec funkce `_find_empty_stack()`, která nalezne první prázdný stoh ve skladu.

Správnou funkčnost třídy lze ověřit v nekonečné smyčce, kde uživatel vybírá z vygenerovaných validních akcí a snaží se splnit cílové podmínky.



Obrázek 2.11. Simulátor skladu

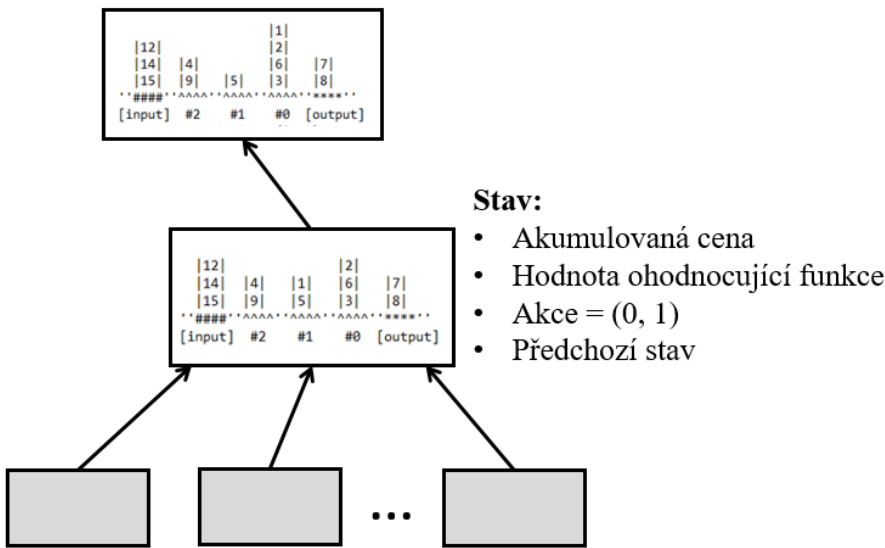
2.3 Výběr algoritmu a jeho implementace

Problém chaotického skladu má obrovský stavový prostor. Již při sto deskách v jednom stohu je $100! = 9.3 \cdot 10^{157}$ možností, jak desky ve stohu uspořádat. Právě sto desek v každém stohu se dá očekávat v zadané konfiguraci skladu se čtyřmi skladovými pozicemi, pro který je algoritmus vytvářen. Proto byl vybrán pro řešení problému vytažení žádaných desek A* algoritmus, který vzhledem na velikost problému má výhodné vlastnosti a zvláště v kombinaci se silnou heuristikou může efektivně prohledávat stavový prostor bez nutnosti v tomto případě nemožného prozkoumání všech stavů, což přináší úsporu výpočetního času.

Jeho implementace je přímočará podle pseudokódu 2.8. Jen je potřeba zadefinovat datovou strukturu stavu, která uchovává informaci o aktuálním uspořádání skladu, akumulovanou cenu cesty, hodnotu ohodnocující funkce, podle kterého se řadí stavy v prioritní frontě, a konečně historii (již zmíněnou dvojici akce a stav) pro rekonstrukci nalezené sekvence akcí.

```

1 class State():
2     def __init__(self, warehouse, cost = 0, priority = 0,
3         history = (None, None)):
4         # současné uspořádání skladu
5         self.warehouse = warehouse
6         # akumulovaná cena cesty g(n)
7         self.cost = cost
8         # hodnota ohodnocující funkce f(n) = g(n) + h(n)
9         self.priority = priority
10        # dvojice (akce, předchozí stav)
11        self.history = history
12        # přepsání "<" operátoru, potřebné pro prioritní frontu
13    def __lt__(self, other):
14        return self.priority < other.priority
  
```



Obrázek 2.12. Datová struktura stavu skladu

Cílem prohledávání je minimalizace počtu přesunů desek při vyskladňování, proto akumulovaná hodnota nových stavů je zvýšena vždy o jedna. Minimalizace přesunů je dostačující při menší počtu skladových pozic, protože rozdíly časů přejezdů manipulátoru mezi jednotlivými pozicemi jsou zanedbatelné. Pro větší skladový prostor by bylo vhodné rozšířit simulátor skladu o informaci umístění skladových pozic a vzdáleností mezi nimi, čímž by se mohl minimalizovat čas přejezdů díky upřednostnění bližších skladových pozic.

Dále do implementace je přidán parametr váhy `weigh` pro možné použití částečně optimálního A^* .

```
15 class AStar():
16     def __init__(self, weigh=1):
17         self.weigh = weigh
18
19     def search(self, start):
20         """ Vrátí nalezenou sekvenci akcí přesunů
21             z počátečního do cílového stavu """
22         opened = PriorityQueue()
23         closed = {}
24         state = State(start.clone())
25         opened.put(state)
26
27         while not opened.empty():
28             state = opened.get()
29             action, prev_state = state.history
30
31             if state.warehouse.isDone():
32                 #vrácení nalezené cesty
33                 path = [action]
34                 while prev_state is not None:
35                     action, prev_state = closed[prev_state]
36                     if action is not None:
37                         path.append(action)
38                 return list(reversed(path))
39
40             if state.warehouse in closed:
41                 continue
42             else:
43                 closed[state.warehouse] = (action, prev_state)
44
45             for action, neighbor in state.warehouse.get_neighbors():
46                 # vytvoření následujícího stavu a inkrementace jeho ceny
47                 next_state = State(neighbor, state.cost + 1, 0,
48                                 (action, state.warehouse))
49                 next_state.priority = next_state.cost
50                                 + self.weigh * next_state.warehouse.heuristic()
51                 opened.put(next_state)
52
53         return None
```

■ 2.3.1 Heuristiky

Jak už bylo řečeno, největší síla A^* algoritmu je v jeho heuristice. Nicméně důležité je si uvědomit, že navržená cesta nemusí být skutečným globálním minimem. To znamená, že existuje možnost, že existuje jiná cesta, která by mohla být ještě optimálnější, ale algoritmus ji nepostřehne, protože některé části grafu nebyly prozkoumány. Z toho důvodu je důležité vybrat vhodnou heuristiku pro daný problém podle zmíněných podmínek optimality (připustnosti a konzistence), aby bylo dosaženo co nejlepších výsledků.

Při hledání heuristiky pro vyskladnění požadovaného pořadí desek uvažujme zjednodušený problém, kde by bylo ve skladu možné přesunout nepotřebné desky na stohy mimo sklad místo na stohy uvnitř skladu, kde by mohly překážet vyskladnění dalších desek v pořadí. S touto myšlenkou byly zformulovány následující tři heuristiky.

- 1) První heuristika nalezne pro každou desku d z množiny desek D , které zbývá ještě vyskladnit pro splnění požadované výstupní fronty, nejvyšší pozici desky stejného typu a sečte počet desek nad ní neboli zaházení desky d .

$$h_1(n) = \sum_{d \in D} zahazeni(d) + |D| \quad (4)$$

- 2) Druhá heuristika na rozdíl od první, protože ve výstupní frontě může být více desek stejného typu, pro každý unikátní typ desky z výstupní fronty nalezne n nejlepších pozic a sečte jejich zaházení.

$$h_2(n) = \sum_{d \in U \subseteq D} \sum_{i=1}^n zahazeni(d) + |D| \quad (5)$$

Kde $U \subseteq D$ je podmnožina unikátních desek v požadované výstupní frontě.

- 3) Třetí heuristika řeší problém, při kterém dochází k překryvu zaházení a některé desky jsou započítány vícekrát, způsobený umístěním požadovaných desek ve stejném stohu. Heuristika je součtem nejhoršího zaházení pro každý stoh a tím tvoří ideální dolní odhad počtu přesunů desek při vyskladňování.

$$h_3(n) = \sum_{s \in S} \max_{d \in D} zahazeni(d, s) + |D| \quad (6)$$

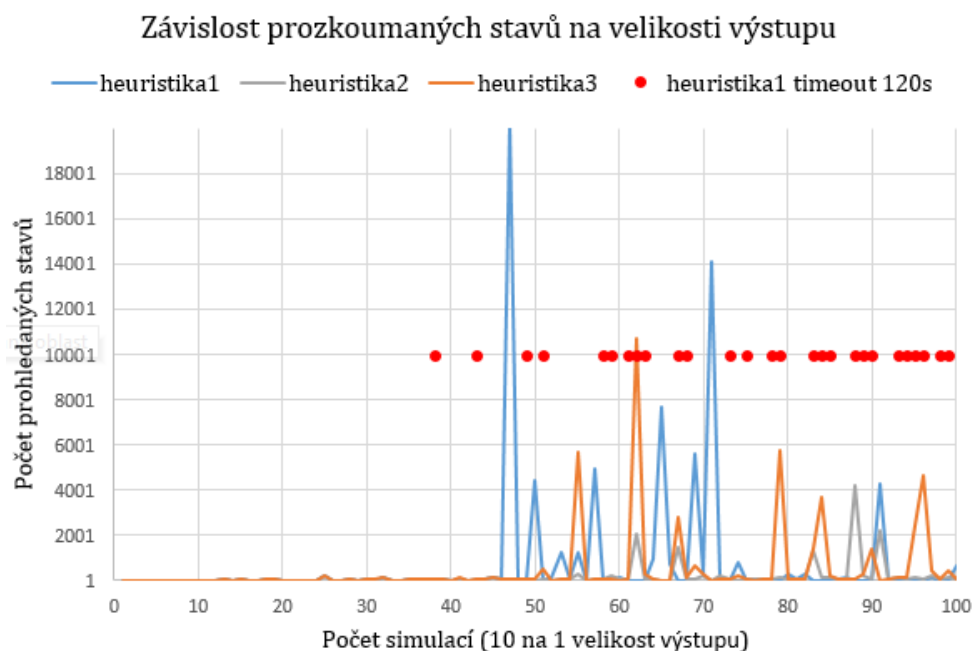
Ke každé heuristice se připočte zbyvajících počet vyskladňovaných desek $|D|$ a informace o počtu přesunů v aktuálním stavu je kompletní.

Závěr kapitoly se bude zabývat porovnáním vlastností heuristik v simulacích náhodného celkového uspořádání skladu a zjištění účinnosti algoritmu A^* při uskladnění různého počtu typů desek a omezením výšky stohů.

■ 2.3.2 Porovnání heuristik

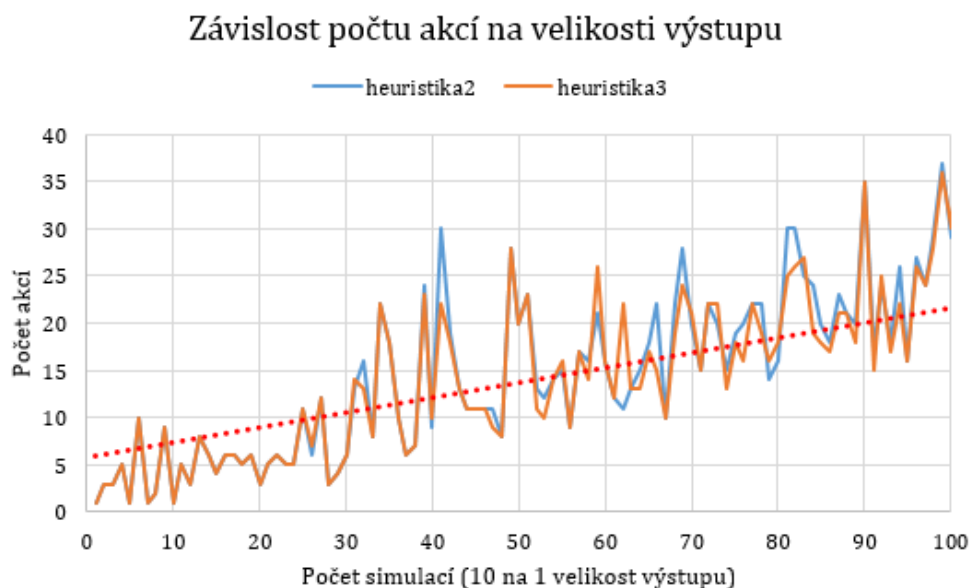
Testování probíhalo za následujících podmínek: Sklad obsahoval celkem 400 desek, rozdělených do 4 stohů. Maximální výška každé pozice byla omezena na 200 desek a první simulace začínaly na 10 typech desek.

Nejprve bylo provedeno testování všech tří heuristik při rostoucí velikosti výstupní fronty, z které vyplynulo, že první navržená heuristika není vhodná. Již při velikosti fronty 4 začalo docházet k prohledávání velkého počtu stavů a čím dál častěji nebylo možné nalézt řešení do dvou minut, kterému docházelo zejména při více desek stejného typu ve frontě. Neúspěšnost první heuristiky je způsobena její špatnou informovaností, kdy se uvažují pouze nejlépe umístěné desky bez ohledu na požadovanou frontu.



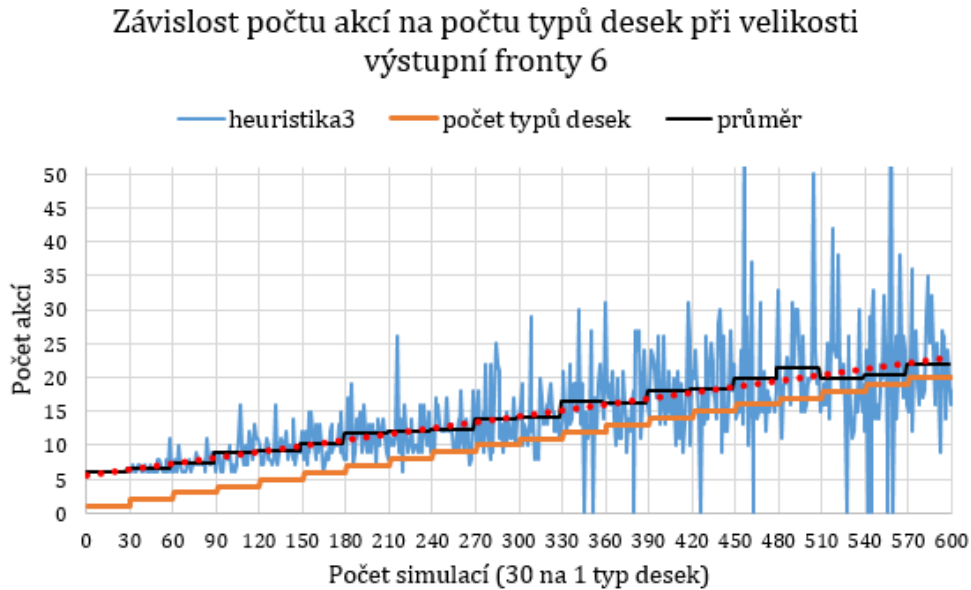
Obrázek 2.13. Závislost prozkoumaných stavů na velikosti výstupní fronty

Při vykreslení závislosti počtu přesunů nalezeného řešení na velikosti výstupní fronty pro zbylé dvě heuristiky pozorujeme lineární závislost, kdy počet přesunů potřebných k vyskladnění roste dvojnásobně na velikosti fronty. Dále od velikosti fronty šest výrazně narůstá prostorová náročnost viz 2.13. Z grafů si můžeme všimnout, že druhá heuristika prohledává méně stavů než třetí, ale zároveň její řešení vyžaduje více přesunů. To je dáno tím, že druhá heuristika stále nadhodnocuje řešení a není přípustná.



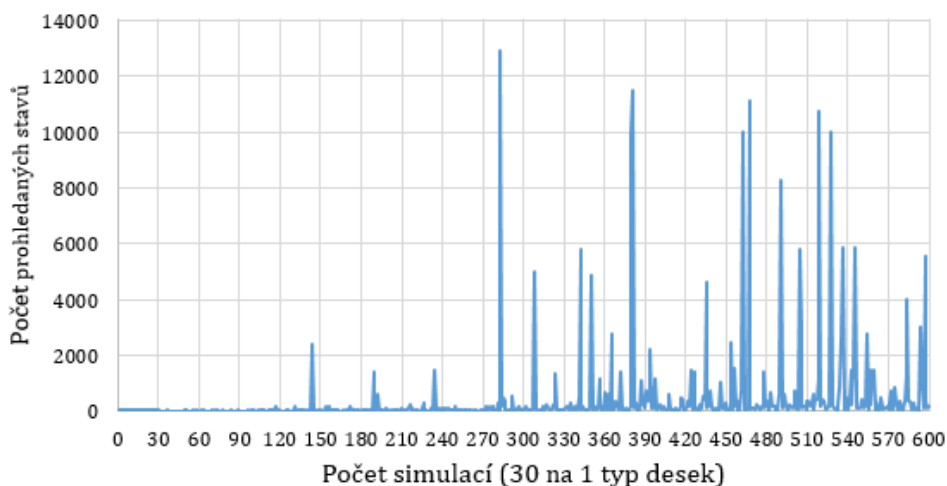
Obrázek 2.14. Závislost počtu akcí na velikosti výstupní fronty

Pro další simulace už byla použita jen třetí jediná přípustná heuristika. Byla zjišťována efektivita a náročnost řešení při rostoucím počtu typů desek. Ze závislosti 2.15 je patrná přímá úměrnost mezi počtem typů desek a přesunů. Z této závislosti můžeme usoudit, že deset typů desek je optimálních pro danou konfiguraci skladu a efektivita přesunů se rovná 50%, tj. na požadovanou délku fronty je potřeba dvojnásobek přesunů. S větším počtem typů desek efektivita přesunů klesá a roste také prostorová složitost a tím i časová náročnost.



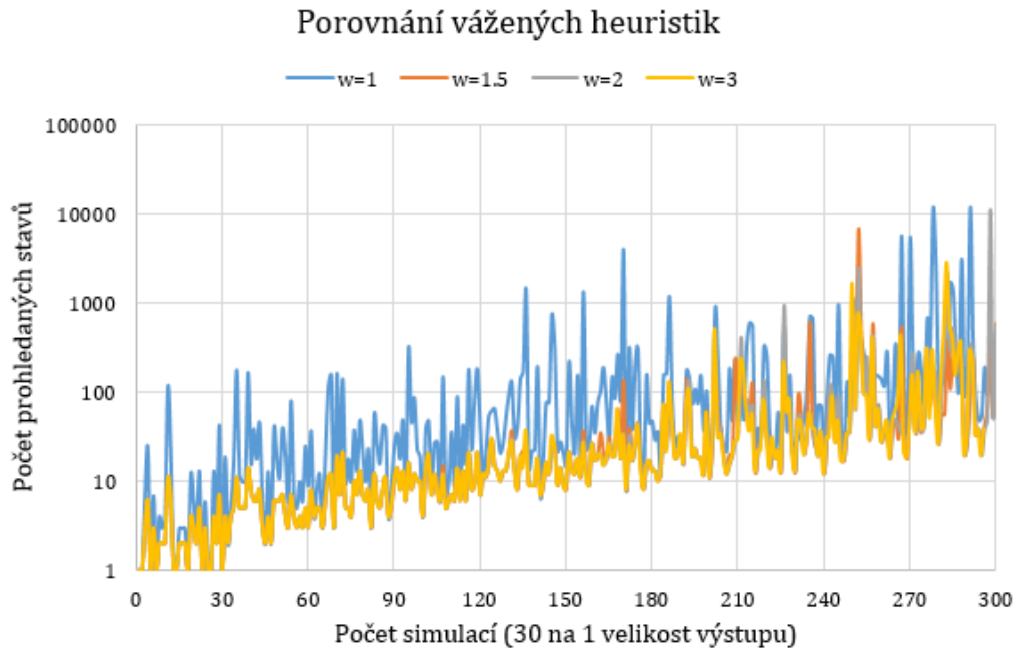
Obrázek 2.15. Závislost počtu akcí při rostoucím počtu typů desek

Závislost počtu prohledaných stavů na počtu typů desek při velikosti výstupní fronty 6



Obrázek 2.16. Závislost prozkoumaných stavů při rostoucím počtu typů desek

Vzhledem k rychle rostoucí prostorové složitosti a potřebou rychlého plánování v řídicím systému skladu bylo otestováno použití částečně optimálního A^* . Při vážení heuristické funkce konstantou 1.5, 2 a 3 došlo k řádovému zlepšení prohledávání, přičemž vážení nemělo skoro žádný vliv na optimalitu nalezeného řešení. V porovnání s neváženou heuristikou byla nalezená řešení větší jen o jednotky přesunů, průměrně o dva přesuny a v 53% byly shodné s neváženou heuristikou.



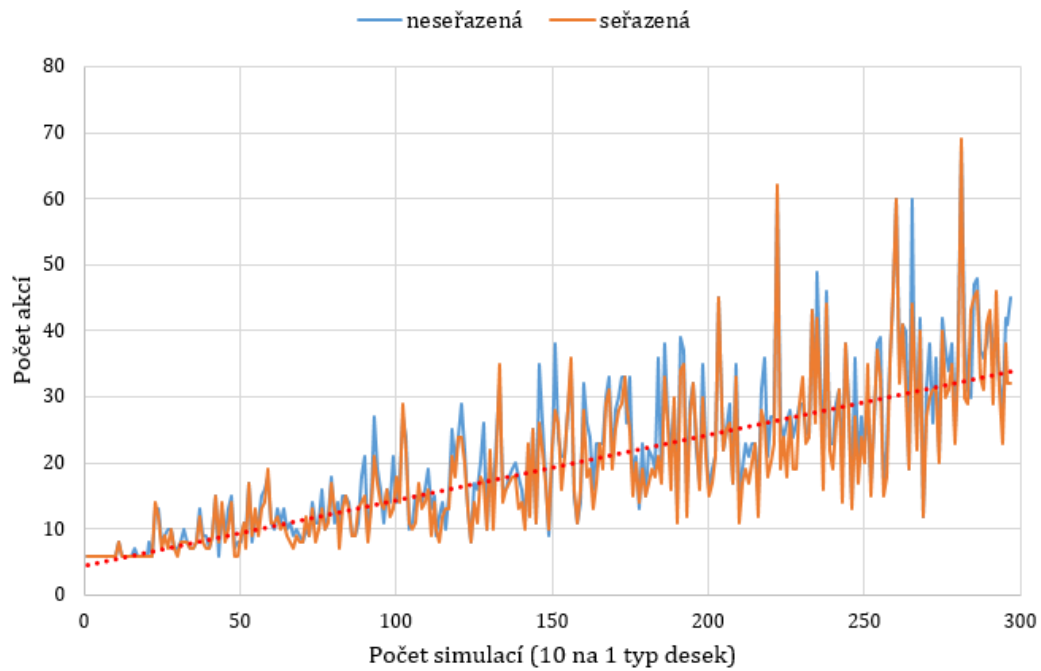
Obrázek 2.17. Porovnání vážených heuristik

Pokud by výstupní fronta nebyla striktně navázána na plánovanou CNC výrobu, intuice nám napovídá seřadit frontu postupně podle toho jak jsou jednotlivé desky ve skladu zaházené, což by mohlo vést ke zlepšení celého procesu vyskladnění. S touto myšlenkou byly provedeny další dvě simulace.

Nejprve byl zkoumán vliv seřazené fronty konstantní délky šest při rostoucím počtu typů desek ve skladu. Přestože nedošlo k očekávanému zlepšení u počtu akcí (požadovaných přesunů pro vyskladnění), došlo k výraznému zlepšení u počtu prozkoumaných stavů viz obr. 2.18 a obr. 2.19. Počet akcí u neseřazené i seřazené fronty byl více méně stejný a rozdíly v řešení byly zanedbatelné. Co se týče počtu prozkoumaných stavů, zde se jedná o dvanácti násobné zlepšení oproti neseřazené frontě. Pro představu délky trvání výpočtu na notebooku s procesorem Intel i5 7300HQ 2.50GHz je průměrné zlepšení z 1.65 na 0.13 sekund.

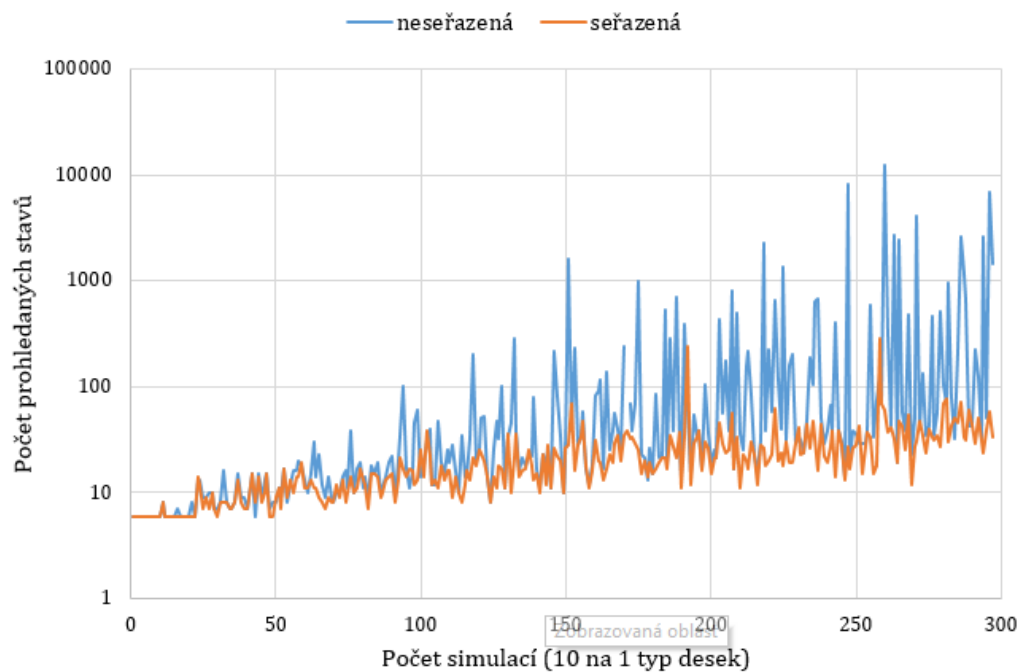
Dále byl zjištěn vliv seřazené rostoucí fronty ve skladu s deseti typy desek viz obr. 2.20 a obr. 2.21. Situace s počtem akcí je obdobná jako v předchozím případě, avšak od velikosti fronty dvanáct dochází čím dál častěji u neseřazené fronty k nevyřešení z důvodu vypršení časového limitu 200 sekund (nulové hodnoty v grafu 2.20). K tomuto nedochází u seřazené fronty díky čtyřnásobnému zlepšení prostorové složitosti a v časech řešení je to zrychlení z průměrných 12.34 na 2.97 sekund. Z tohoto pozorování může být seřazení doporučeno pro vyskladňování většího počtu desek.

Vliv seřazení fronty délky 6 při rostoucím počtu typů desek



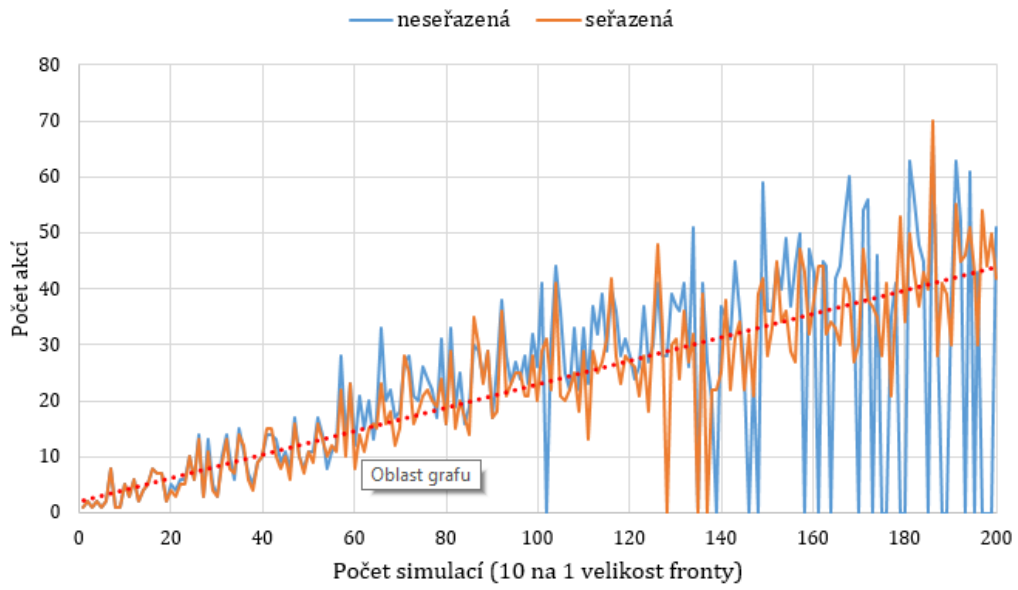
Obrázek 2.18. Vliv seřazené konstantní délky fronty na počet akcí

Vliv seřazení fronty délky 6 při rostoucím počtu typů desek



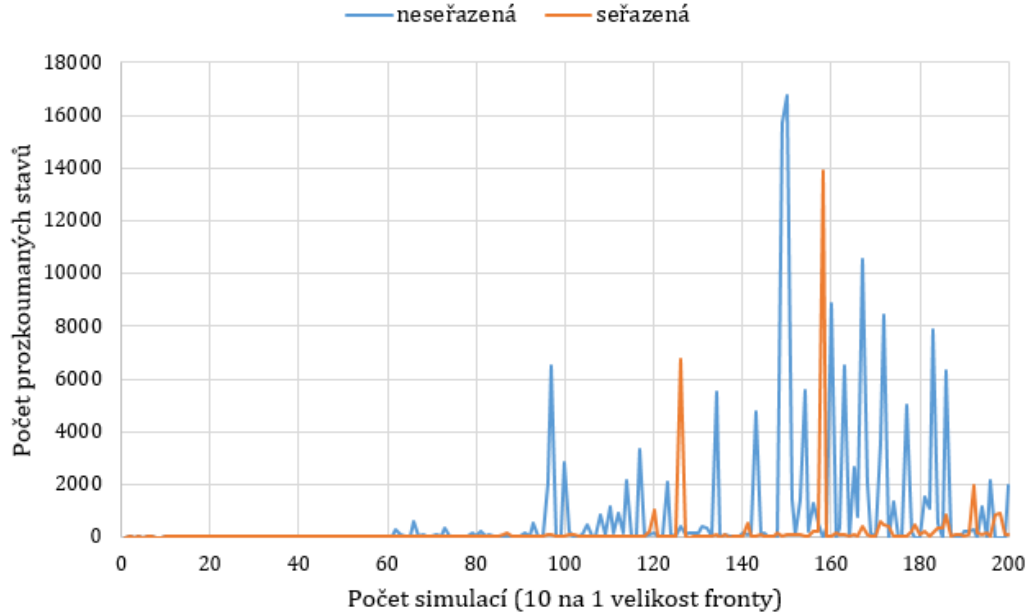
Obrázek 2.19. Vliv seřazené konstantní délky fronty na počet prozkoumaných stavů

Vliv seřazení rostoucí fronty ve skladu s 10 typy desek



Obrázek 2.20. Vliv seřazené rostoucí délky fronty na počet akcí

Vliv seřazení rostoucí fronty ve skladu s 10 typy desek



Obrázek 2.21. Vliv seřazené rostoucí délky fronty na počet prozkoumaných stavů

Kapitola 3

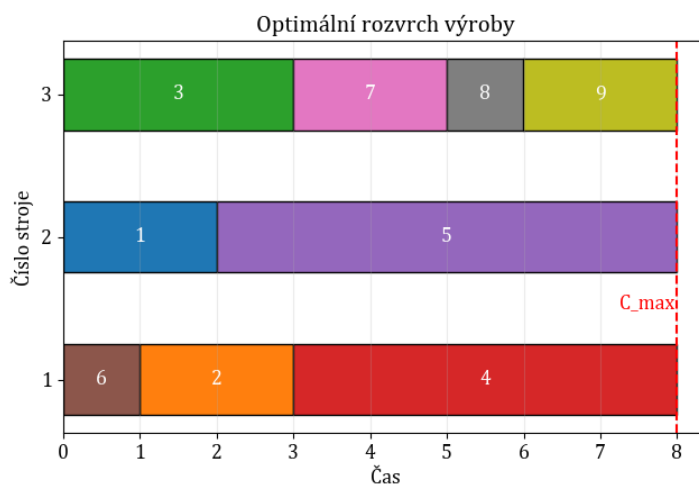
Rozvrhování výroby

Rozvrhování výroby může mít výrazný vliv na náklady podniku, proto se tato kapitola zaměřuje na rozvrhování operací s deskovým materiálem na přidružené výrobní stroje chaotického skladu (pila, fréza apod.). Cílem rozvrhování je optimalizovat časové rozvržení pracovních operací, aby byly maximálně využity produkční kapacity a zvýšila se produktivita. Na začátek kapitoly je uvedena terminologie rozvrhování a přístupy k jejímu řešení, poté bude formulován matematický model pro rozvrhování na paralelní stroje a jeho řešení ve vybraném řešiči.

3.1 Terminologie

Rozvrhovací problém se skládá z množiny strojů $\mathcal{M} = \{1, 2, \dots, m\}$, ke kterým je potřeba přiřadit v čase operace (úkoly) z množiny $\mathcal{T} = \{1, 2, \dots, n\}$. Operace mohou mít různou délku trvání (*processing time*), požadavek, kdy nejdříve mohou být zpracovány tzv. *release time* například z důvodu čekání na materiál, dále může být požadován požadovaný čas dokončení (*due time*) a nejpozdější čas dokončení (*deadline*) a konkrétní typ stroje, na kterém může být operace vykonána. Mezi operacemi mohou existovat závislosti, kdy některá operace vyžaduje dokončení několika předchozích. Všechny tyto omezující podmínky přispívají ke zvýšení náročnosti řešení. Důležité je stanovení cílového kritéria, vůči kterému hledáme optimální řešení. Může to být například minimalizace času konce výroby nebo minimalizace času od *due time* neboli požadavek na tzv. „just in time“ výrobu.

Pro vizualizaci rozvrhování se používá *Ganttův diagram*. Jedná se graf, kdy na vertikální ose jsou na řádcích vyneseny stroje a na horizontální ose je časové měřítko. Do řádků jsou přiřazovány obdélníky reprezentující úkoly, které označují začátek, konec a dobu trvání operace.



Obrázek 3.1. Ganttův diagram

Rozvrhovací problémy často patří do skupiny \mathcal{NP} -hard, neboli neexistuje algoritmus, který by je zvládl vyřešit v polynomiálním čase. V takovém případě je výhodné ho převést na problém kombinatorické optimalizace, pro který existují dva osvědčené přístupy k řešení: *Integer linear programming (ILP)*, *Constraint programming (CP)*.

3.2 Lineární a celočíselné programování

ILP přistupuje k rozvrhovacímu problému čistě matematicky a hledá nejlepší řešení minimalizující dané kritérium na množině přípustných řešení za použití dobře známých algoritmů pro řešení úloh LP a ILP.

3.2.1 Lineární programování

Lineární program je optimalizační problém minimalizace nebo maximalizace lineární cílové funkce (1) za splnění omezujících podmínek určených soustavou lineárních rovnic a nerovnic (2)(3). Formálně se zapíše v maticovém tvaru

$$\min \quad \mathbf{c}^T \mathbf{x} \quad (1)$$

$$\text{za podmínek: } \quad \mathbf{Ax} \geq \mathbf{b} \quad (2)$$

$$\mathbf{x} \geq \mathbf{0} \quad (3)$$

kde $\mathbf{A} \in \mathbb{R}^{m \times n}$, $\mathbf{b} \in \mathbb{R}^m$, $\mathbf{x} \in \mathbb{R}^n$ a $\mathbf{c} \in \mathbb{R}^n$. Množina přípustných řešení se nazývá polyhedr (mnohostěn) a pokud existuje řešení, nachází se právě ve vrcholu polyhedru nebo je řešením celá jeho hrana. V úlohách LP se můžeme často setkat s potřebou maximalizace, ale většina řešičů je napsána pouze pro případ minimalizace. Naštěstí je převod z maximalizace na minimalizaci jednoduchý, $\max(\mathbf{c}^T \mathbf{x}) = -\min(-\mathbf{c}^T \mathbf{x})$.

Nejznámějším algoritmem na řešení LP je *simplexová metoda*, která systematicky hledá optimum ve vrcholech tak, že prochází vrcholy podél hran polyhedru tak, aby se hodnota cílové funkce zmenšovala nebo alespoň nezhoršovala.[9]

3.2.2 Celočíselné lineární programování

Celočíselné lineární programování se od LP liší pouze tím, že požadujeme, aby doména řešení \mathbf{x} byla pouze celočíselná, nejčastěji binární hodnota 0 nebo 1. Binární hodnota například říká, zda je daný úkol přiřazen ke konkrétnímu stroji nebo není.

$$\min \{ \mathbf{c}^T \mathbf{x} \mid \mathbf{Ax} \geq \mathbf{b}, \mathbf{x} \in \mathbb{Z}^n \} \quad (4)$$

Na první pohled se může zdát, že zmenšením domény došlo ke zjednodušení problému, ale opak je pravdou, protože množinu přípustných řešení už netvoří konvexní polyhedr, ale množina izolovaných bodů, a nelze použít standardní algoritmy. Na rozdíl od LP, který lze vyřešit v polynomiálním čase, je vyřešení ILP obecně \mathcal{NP} -hard.

Můžeme se pokusit vyřešit ILP relaxováním na LP převedením binárních podmínek $x_i \in \{0, 1\}$ na nerovnice $0 \leq x_i \leq 1$ a použitím simplexové metody získat přibližné řešení. Bohužel zaokrouhlením můžeme dostat celočíselné řešení mimo přípustnou množinu nebo i kdyby bylo zaokrouhlení přípustné, může být daleko od optima. Přesto je přibližné řešení užitečné v sofistikovanějších metodách, například metoda *větví a mezi (Branch and Bound)*.

Dalším přístupem je *enumerací metoda*, která prochází a ohodnocuje všechna přípustná řešení. Vzhledem k exponenciálnímu růstu proměnných je ale vhodná pouze pro malé úlohy. [7][9]

3.6 Prioritní rozvrhování na identické stroje

Často je potřeba plánovat s ohledem na následující proces ve výrobě, například montáž, neboli potřebujeme, aby všichni materiál potřebný pro montáž byl vyroben do určitého času. Proto byla snaha vytvořit model, který by upřednostňoval skupiny operací.

Prioritizace operací můžeme docílit určením společného deadlinu d_t každé skupině a dostáváme rozvrhovací problém:

$$P \mid d_t \mid C_{max} \quad (19)$$

Protože musíme pracovat s koncem operací, zavedeme proměnou začátku operace s_t a konec získáme přičtením trvání operace p_t . První dvě omezující podmínky přiřazení operace a minimalizace C_{max} jsou shodné s předchozími modely. Dále musíme zavést omezení konce intervalu operací z hora kritériem C_{max} (23) a deadlinem d_t (24). Nakonec musíme zamezit překryvu intervalů operací, pokud jsou rozvrhnuty na stejném stroji. Tedy chceme, aby omezení platilo jen za určitých podmínek. Při takovém požadavku se ve formulaci ILP používá *Big-M metoda*, kdy nějaké velké číslo (volí s ohledem na ostatní proměnné) při nesplnění podmínek převáží nerovnici a omezující podmínka se stane „neaktivní“. *Big-M metoda* byla použita právě u omezující podmínky překryvu (25). Podmínka má smysl pouze v případě, kdy je operace t rozvržena před operací t' . Tento stav vyjadřují dodatečně zavedené binární proměnné $\delta_{tt'}$.

$$\min C_{max} \quad (20)$$

$$z. p.: \sum_{m \in \mathcal{M}} x_{tm} = 1 \quad \forall t \in \mathcal{T} \quad (21)$$

$$\sum_{t \in \mathcal{T}} p_t x_{tm} \leq C_{max} \quad \forall m \in \mathcal{M} \quad (22)$$

$$s_t + p_t \leq C_{max} \quad \forall t \in \mathcal{T} \quad (23)$$

$$s_t + p_t \leq d_t \quad \forall t \in \mathcal{T} \quad (24)$$

$$s_t + p_t \leq s_{t'} + M(3 - x_{tm} - x_{t'm} - \delta_{tt'}) \quad \forall t, t' \in \mathcal{T} \quad \forall m \in \mathcal{M} \quad (25)$$

$$\delta_{tt'} + \delta_{t't} = 1 \quad \forall t, t' \in \mathcal{T} \quad t \neq t' \quad (26)$$

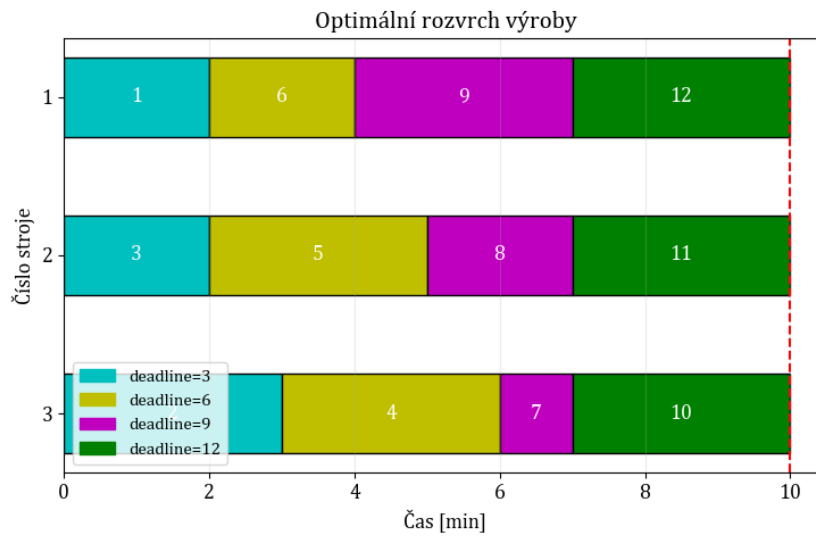
$$x_{tm} \in \{0, 1\} \quad \forall t \in \mathcal{T} \quad \forall m \in \mathcal{M} \quad (27)$$

$$\delta_{tt'} \in \{0, 1\} \quad \forall t, t' \in \mathcal{T} \quad (28)$$

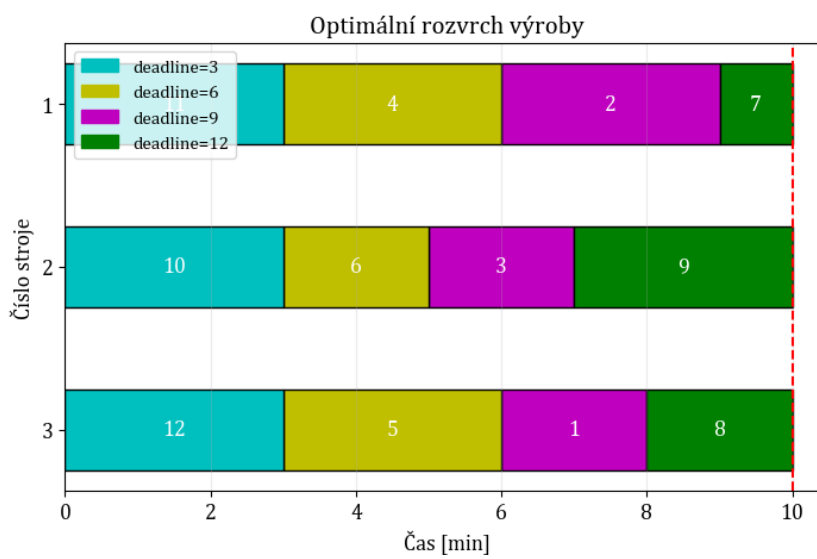
$$s_t \in \mathbb{R} \quad \forall t \in \mathcal{T} \quad (29)$$

$$C_{max} \in \mathbb{R} \quad (30)$$

Na obrázcích 3.4 a 3.5 můžeme vidět příklad rozvrhování s rozdílným přiřazením deadlinů k jednotlivým operacím.



Obrázek 3.4. Prioritní rozvrh 1



Obrázek 3.5. Prioritní rozvrh 2

3.7 Implementace knihovnou OR-tools

Pro implementaci byl zvolen open-source software OR-Tools od Google [11], který poskytuje vlastní řešiče kombinatorické optimalizace LP, ILP, CP, i specializované algoritmy pro TSP, a má také dobrou dokumentaci. OR-Tools je vytvořeno v C++, ale zároveň podporuje širokou škálu jazyků (Python, Java, C#). Jeho název je odvozen od *operačního výzkumu* (jiný termín pro kombinatorickou optimalizaci), byl prvně použit za druhé světové války, kdy se řešili logistické problémy s dodávkami materiálu na frontu.

Pro vyřešení rozvrhu operací byla vytvořena funkce `solve_schedule()`, která na svém vstupu očekává počet strojů a operací pro jednotlivé typy strojů. Dále pak matice časů zpracování, které jsou pro potřeby testování generovány náhodně v rozmezí tří až patnácti minut (průměrné časy operací ve dřevozpracujícím průmyslu).

```
1  if __name__ == "__main__":
2      num_machines = [3, 2, 2]
3      num_tasks = [120, 80, 60]
4      all_tasks_process_time = []
5      for tasks, machines in zip(num_tasks, num_machines):
6          all_tasks_process_time.append(
7              (np.random.randint(3, 15, (tasks, 1))*np.ones((1,machines))).T
8          )
9          print("Scheduling..")
10         solve_schedule(num_machines, num_tasks, all_tasks_process_time, True)
```

Funkce nejprve vytvoří objekt řešiče, resp. modelu ILP z knihovny OR-Tools a vytvoří cílovou reálnou proměnnou `makespan`³ (C_{max}) metodou `Var()` , kde jí nastaví povolený rozsah od nuly do nekonečna. Následuje smyčka, která rozbalí vstupní data, vytvoří proměnné a omezující podmínky pro každý typ podle modelu pro identické stroje (7).

```
1  def solve_schedule(machinesNums, tasksNums, process_times, showResult):
2      #vytvoření ILP řešiče/modelu
3      solver = pywraplp.Solver("Makespan_Minimalizaion",
4          pywraplp.Solver.SCIP_MIXED_INTEGER_PROGRAMMING)
5      #přidání cílové reálné proměnné
6      makespan = solver.Var(0, solver.infinity(), False, "makespan")
7      #list pro matice přiřazovacích proměnných pro každý typ stroje
8      tasksOnMachine = []
9      for num_machines, num_tasks, all_tasks_process_time
10         in zip(machinesNums, tasksNums, process_times):
11         #vytvoření množin indexů pro stroje a operace
12         all_machines = range(num_machines)
13         all_tasks = range(num_tasks)
14         #vytvoření jedné přiřazovací matice reprezentované jako slovník
15         #s binárními proměnnými
16         tasks = {}
17         for t in all_tasks:
18             for m in all_machines:
19                 tasks[(t,m)] = solver.IntVar(0,1,f'task_{t}-{m}')
20         tasksOnMachine.append(tasks)
```

³ angl. termín pro čas dokončení poslední operace

Kapitola 4

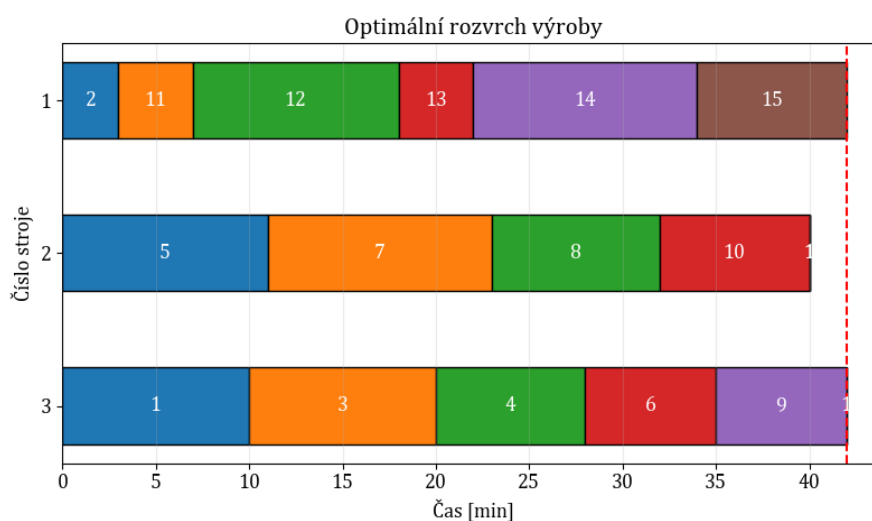
Spojení algoritmů vyskladňování a rozvrhování výroby

Po vytvoření algoritmů vyskladnění a rozvrhování je potřeba tyto dva moduly propojit. Ze získaného rozvrhu pro každou desku víme, v jakém čase a na kterém stroji má být zpracována. Z těchto informací musíme vytvořit frontu desek v přesně určeném pořadí, ve kterém jsou potřeba odbavovat. Tato fronta bude následně zpracována vyskladňovacím algoritmem a desky mohou být rovnou přesouvány na konkrétní stroje jim určené nebo mohou být připravené v požadovaném pořadí na vyskladňovací pozici skladu v případě, kdy výrobní časy desek budou krátké a skladový manipulátor by nezvládal výrobu zásobit. Druhý přístup je obzvláště výhodný ve spojení dvou manipulátorů, kdy jeden by se staral o uspořádání desek a druhý by už pouze přesouval desky z již už seřazené výstupní pozice skladu.

Získaný rozvrh výroby můžeme reprezentovat dvěma maticemi `optimSchedule` a `startTime`. V první matici jsou uložena identifikační čísla desek a ve druhé časy ve kterých se má začít konkrétní deska zpracovávat. Řádky matic odpovídají jednotlivým strojům a desky jsou v nich seřazeny podle rozvrhu.

$$\text{optimSchedule} = \begin{bmatrix} 2 & 11 & 12 & 13 & 14 & 15 \\ 5 & 7 & 8 & 10 & 0 & 0 \\ 1 & 3 & 4 & 6 & 9 & 0 \end{bmatrix} \quad (1)$$

$$\text{startTime} = \begin{bmatrix} 0 & 3 & 7 & 18 & 22 & 34 \\ 0 & 11 & 23 & 32 & 40 & 40 \\ 0 & 10 & 20 & 28 & 35 & 42 \end{bmatrix} \quad (2)$$



Obrázek 4.1. Rozvrh výroby

Matice shodných rozměrů můžeme výhodně procházet po sloupcích a řadit tak desky do výsledné fronty desk vzestupně podle časů ve sloupcích matice `startTime`. Pouze u prvního sloupce je strategie obrácená, aby měl manipulátor čas na zásobení ostatních strojů. Fronta desk pro konkrétní případ na obr.4.1 bude:

$$\text{fronta} = [5, 1, 2, 11, 12, 3, 7, 13, 4, 14, 8, 6, 10, 15, 9] \quad (3)$$

Z poznatků o vyskladňovacím algoritmu víme, že je výhodné zpracovávat fronty do velikosti šest s ohledem na efektivnost vyskladnění, a tak rozdělíme frontu a připravíme požadavky pro vyskladňovací algoritmus.

$$\text{fronta} = [[5, 1, 2, 11, 12, 3], [7, 13, 4, 14, 8, 6], [10, 15, 9]] \quad (4)$$

O toto uspořádání desk a tvorbu fronty se stará funkce `create_batch()` v modulu rozvrhování výroby.

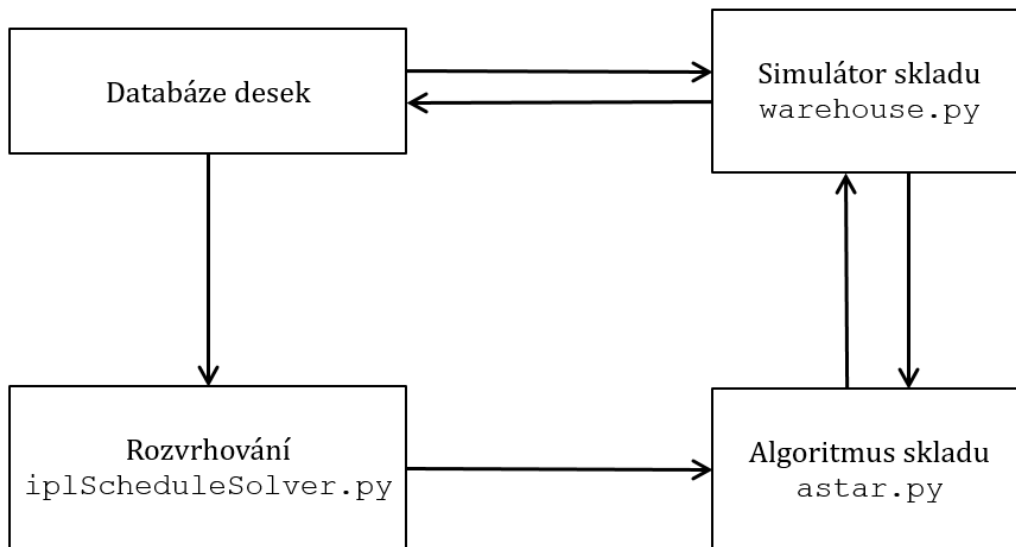
```

1 def create_batch(optimSchedule, startTime):
2     row, col = optimSchedule.shape
3     batch = [] # list pro výslednou frontu
4     #řazení prvních desk sestupně
5     subSchedule = optimSchedule[:,0] #první sloupec
6     subTime = startTime[:,1] #druhý sloupec
7     while subSchedule.size > 0: #not is empty
8         machineID = np.argmax(subTime)
9         batch.append(subSchedule[machineID]+1)
10        #np.delete(matice, i) vymaže prvek v matici na i-té pozici
11        subTime = np.delete(subTime, machineID)
12        subSchedule = np.delete(subSchedule, machineID)
13    #řazení ostatních desk vzestupně
14    q = PriorityQueue()
15    for r in range(row):
16        for c in range(1,col):
17            if optimSchedule[r,c] == 0:
18                continue
19            q.put((startTime[r,c], optimSchedule[r,c]))
20
21    while not q.empty():
22        batch.append(q.get()[1]+1)
23
24    return batch

```

4.1 Architektura aplikace

Závěrem poslední kapitoly popíšeme část architektury plánované aplikace řídicího systému skladu. Komunikace mezi vytvořenými moduly bude následující. Nejdříve bude vytvořena požadovaná fronta z dostupných desek z databáze skladu rozvrhovacím modulem nebo případně ručně operátorem skladu. Fronta bude dále zpracována A-Star algoritmem, který potřebuje simulátor skladu. Proto bude do simulátoru nahrán aktuální stav skladu z databáze. Po získání posloupností akcí od A-Star budou akce provedeny reálným skladem a současně budou aplikovány na simulátor. Nakonec bude aktualizována databáze podle simulátoru a celý proces se může opakovat.



Obrázek 4.2. Architektura plánované aplikace skladu

Kapitola 5

Závěr

V úvodní části práce jsme byli seznámeni s řešenou problematikou automatizovaného chaotického skladu deskového materiálu. Byly představeny cíle a problémy, které jsou spojeny s tímto relativně novým typem automatizovaného skladu.

První kapitola se nejprve zaměřuje na rešerši algoritmů vhodných k prohledávání stavového prostoru, jakožto zvoleného přístupu k řešení optimálního pohybu materiálu ve skladu s ohledem na vyskladňování, resp. naskladňování a na přidružené zpracování materiálu na paralelně běžících CNC výrobních strojích. Byly definovány metody pro měření výkonu těchto algoritmů. Algoritmy jsou porovnávány podle způsobu práce s pamětí a počtu prohledaných stavů raději než pomocí času, který je relativní a se stále rostoucím výkonem procesorů by tento přístup nebyl objektivní. V další části této kapitoly byl vytvořen simulátor formální reprezentace stavového prostoru skladu definující stavy, akce, přechody mezi stavy (přesun desky z jednoho stohu na druhý) a konečně definice cílového stavu daného požadovanou frontou desek na výstupní pozici skladu a prázdnou vstupní naskladňovací pozici. Vzhledem k obrovskému množství kombinací ve skladovém prostoru byl vybrán A-star algoritmus, pro který byla vytvořena heuristika vyhledávající vždy nejméně zarovnané desky a odhadující počet přesunů do cílového stavu. Tím je dosaženo efektivního a rychlého vyskladňování. Nakonec kapitoly byla provedena analýza náročnosti algoritmu na počtu typů desek ve skladu, ze které vyšlo nejlépe s ohledem na prostorovou i časovou složitost deset typů desek při velikosti výstupní fronty šest. V této konfiguraci je vyskladňování nejefektivnější a je potřeba dvojnásobného počtu přesunů na požadovanou frontu. S rostoucím počtem typů desek účinnost počtu vyskladněných desek ku počtu potřebných přesunů klesá.

Druhá kapitola se zabývá rozvrhováním výroby na paralelně běžících strojích, které jsou součástí skladového systému. Protože rozvrhování je rozsáhlá problematika, začátek kapitoly nejdříve obsahuje seznámení s rozvrhováním a přehledem terminologie. Paralelní rozvrhování se řadí mezi \mathcal{NP} -hard problémy kombinatorické optimalizace, na jehož řešení byly popsány dva základní přístupy k řešení, Integer linear programming a Constraint programming. V závěru kapitoly byly formulovány matematické modely pro rozvrhování. První model zahrnuje možnost, kdy je ve výrobě více typů strojů. Druhý model je vhodný pro prioritizaci operací, která je docílena stanovením deadline skupině operací. Díky tomu, že modely umožňují vyřešení směnného výrobního plánu do méně než jedné sekundy, resp. minuty v případě rozvrhování s deadline, mohou být v praxi užitečným pomocníkem při plánování výroby a zvyšovat tak ziskovost podniku.

Vytvořený algoritmus vyskladňování spolu se simulátorem skladu je dobře škálovatelný a bylo by vhodné jeho rozšíření v případě použití pro sklady s více pozicemi. Do rozšíření by mohly být vneseny například odhady časů přejezdů manipulátoru a informace o umístění skladových pozic umožňující minimalizaci najeté trajektorie manipulátoru.

Závěrem můžeme říci, že všechny stanovené cíle diplomové práce byly splněny.

Literatura

- [1] Jan Ledr a Martin Nečas. *Odborná zpráva o postupu prací a dosažených výsledcích za rok 2022, Chytrý automatický sklad.*
- [2] Kevin M. Lynch a Frank C. Park. *MODERN ROBOTICS*. preprint version vyd.. Cambridge: Cambridge University Press, 2017. ISBN 9781107156302.
- [3] Stuart J. Russell a Peter Norvig. *Artificial Intelligence: A Modern Approach*. Third Edition vyd.. Upper Saddle River, New Jersey 07458: Pearson Education, Inc., 2010. ISBN 0-13-604259-7.
- [4] Richard E. Korf. *Iterative-Deepening-A*: An Optimal Admissible Tree Search*. In: Aravind K. Joshi, eds. *Proceedings of the 9th International Joint Conference on Artificial Intelligence. Los Angeles, CA, USA, August 1985*. Morgan Kaufmann, 1985. 1034–1036 [cit. 2023-07-04] .
https://cse.sc.edu/~mgv/csce580f09/gradPres/korf_IDAStar_1985.pdf.
- [5] Geeksforgeeks.org. *Iterative Deepening Search(IDS) or Iterative Deepening Depth First Search(IDDFS)*. [cit. 2023-07-08] .
<https://www.geeksforgeeks.org/iterative-deepening-searchids-iterative-deepening-depth-first-searchiddfs/>.
- [6] Wikipedia. *A* search algorithm*. [cit. 2023-07-10] .
https://en.wikipedia.org/wiki/A*_search_algorithm.
- [7] Zdeněk Hanzálek. *Combinatorial Optimization*. [cit. 2023-07-27] .
<https://rtime.ciirc.cvut.cz/~hanzalek/K0/index.htm>.
- [8] Peter BRUCKER. *Scheduling algorithms*. 5th vyd.. New York: Springer, 2007. ISBN ISBN 978-3-540-69515-8.
<https://ftp.idu.ac.id/wp-content/uploads/ebook/ip/BUKU%20SCHEDULING/Scheduling%20Algorithms.pdf>.
- [9] Tomáš Werner. *Optimalizace*. [cit. 2023-07-28] .
https://cw.fel.cvut.cz/b231/_media/courses/b0b33opt.
- [10] Roman BARTÁK. *Constraint Programming*. 1998 [cit. 2023-07-30] .
<http://ktiml.mff.cuni.cz/~bartak/constraints/>.
- [11] *Google OR-Tools*. Mountain View (Kalifornie), 2023 [cit. 2023-08-06] .
<https://developers.google.com/optimization/>.

Příloha A

Seznam příložených souborů

Zdrojové soubory budou přiloženy v archivu `source.zip`, který bude obsahovat soubory uvedené níže a skripty použité pro analýzu výkonnosti `astar.py` v podadresáři `/stats`.

`warehouse.py` Simulátor formální reprezentace skladu

`astar.py` Algoritmus pro optimální pohyb materiálu ve skladu

`ilpScheduleSolver.py` Program pro rozvrhování výroby na identických

`ilpScheduleTypeOfMachinesSolver.py` a na dedikovaných strojích

`schedule-plus-astar.py` Ukázka spojení `astar.py` s rozvrhováním výroby

`ilp-model.py` ILP model pro rozvrhování s deadliny

`cp-model.py` CP model pro rozvrhování s deadliny